

## k-ε モデルによる乱流から層流への遷移に関する数値解析

京都大学工学部 正員  
飛島建設 正員

岩佐義朗  
白畠智幸

広島大学工学部 正員  
○京都大学大学院 学生員  
細田 尚  
伊藤邦展

- 序論； 本研究は、 turbulent Reynolds 数の低い領域を含む k-ε モデルを開水路流れに適用し、 亂流から層流への遷移について検討し、 次に、 高次の乱流モデルを用いて、 乱れエネルギー k を各方向に配分し、 従来の実験結果と比較検討した。
- k-ε モデルによる乱流から層流への遷移に関する数値実験； 座標系ならびに記号を図-1 のように考えて、 基礎式は次のようになる。 等流を考えており、 水理量の x 方向の変化はない。

$$\frac{\partial U'}{\partial t} = 1 + \frac{\partial}{\partial y} \left\{ \left( \frac{1}{\alpha} + D' \right) \frac{\partial U'}{\partial y} \right\} \quad (1)$$

$$\frac{\partial k'}{\partial t} = D' \left( \frac{\partial U'}{\partial y} \right)^2 - \epsilon' + \frac{\partial}{\partial y} \left\{ \left( \frac{D'}{\alpha} + \frac{1}{\alpha} \right) \frac{\partial k'}{\partial y} \right\} - 2 \cdot \frac{1}{\alpha} \left( \frac{\partial k'}{\partial y} \right)^2 \quad (2)$$

$$\frac{\partial \epsilon'}{\partial t} = -C_{\epsilon 1} \frac{\epsilon'}{k'} D' \left( \frac{\partial U'}{\partial y} \right)^2 - C_{\epsilon 2} f_2 \frac{\epsilon'^2}{k'} + \frac{\partial}{\partial y} \left\{ \left( \frac{D'}{\alpha} + \frac{1}{\alpha} \right) \frac{\partial \epsilon'}{\partial y} \right\} + C_{\epsilon 3} \frac{1}{\alpha} D' \left( \frac{\partial^2 U'}{\partial y^2} \right)^2 \quad (3)$$

ここで、 漏動粘性係数 D' は、 turbulent Reynolds 数が低い領域を考慮して次式で表す。

$$D' = C_d f_u \frac{k'^2}{\epsilon} \quad (4) \quad f_u = \exp \left\{ - \frac{2.5}{1 + \text{Re}_T / 50} \right\} \quad (5)$$

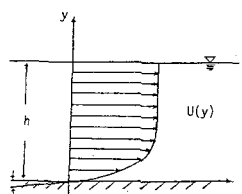


図-1

表-1

$\alpha$  は無次元パラメータで、  $\alpha = h U_* / \nu$  と定義される。定数の値は、  $C_d = 0.09$ ,  $C_{\epsilon 1} = 1.44$ ,  $C_{\epsilon 2} = 1.92$ ,  $C_{\epsilon 3} = 1.0$ ,  $\alpha_{\epsilon} = 1.3$  を用いる。境界条件は、 自由表面上で、  $\frac{\partial y'}{\partial y}|_{y=1} = 0$  とし、 路床上で、  $U'|_{y=0} = 0$ ,  $\epsilon'|_{y=0} = 0$ ,  $k'|_{y=0} = 0$  とした。初期条件は、  $U = U_0 y'$ ,  $k = k_0$ ,  $\epsilon = \epsilon_0$  を与えた。格子間隔は、 水深を 50 等分し、 最下層をさらに 10 等分したもの用いた。(1)～(3)式を離散化し、 定常になるとまで時間発展を行った。<sup>1)</sup> 数値実験のパラメータを表-1 に示す。 Run 8 を例にとり、 (3)式中の  $f_2$  の表示と次のようにして、  $f_2$  の影響について比較検討した。

$$f_2 = 1.0 - \frac{0.176}{1.0 + 0.354 \exp \left\{ 0.95 \cdot \ln \left( \frac{1}{\alpha} \text{Re}_T \right) \right\}} \quad (6-a) \quad f_2 = 1.0 - 0.3 \exp(-\text{Re}^2) \quad (6-b)$$

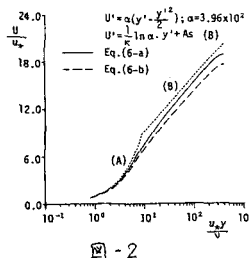


図-2

流速の鉛直分布と図-2 に示す。両者はほぼ一致しており、  $f_2$  の関数形による計算結果の違いはみられないが、本研究では、(6-a) を用いる。図-3 には、抵抗係数  $f'$  と Reynolds 数の関係を示す。図には層流の流速分布と、乱流域では浅野の実験式<sup>4)</sup>を示してある。層流域では、層流の流速分布とよく一致しており、乱流域では、計算値の方がやや

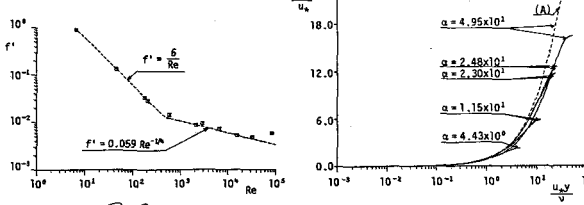


図-3

図-4

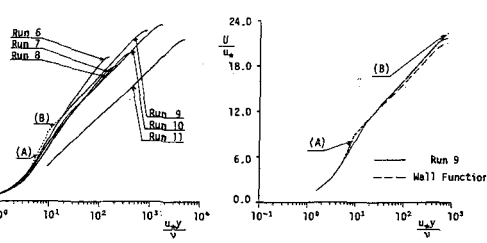


図-5

図-6

大きい値を示しているが、ほぼ一致していると思われる。図-4には、Run1～Run5の流速分布を示す。それぞれ、層流の流速分布に一致している。図-5には、Run6～Run11の流速分布を示す。Run11を除いて、層流の流速分布、対数則にはほぼ一致していると思われる。Run11に閑1では、粘性底層での格子間隔が大きすぎるためと思われる。図-6はRun9を例にとり、路床近傍の $y = \delta$ で $U = U_b$ ,  $\varepsilon = \varepsilon_b$ ,  $k = k_b$ を与えるWall function法と比較したものである。 $U_b$ ,  $\varepsilon_b$ ,  $k_b$ は次式で与えられる。両者はほぼ一致している。

$$\frac{U_b}{U_*} = \frac{1}{k} \ln \alpha y' + A_s \quad (6) \quad \frac{k_b}{U_*^2} = \frac{1}{\sqrt{C_\mu}} \quad (7) \quad \frac{\varepsilon_b}{U_*^3} = \left( \frac{\delta}{h} \right)^{-1} \quad (8)$$

図-7, 図-8は、Run6～Run11の $k$ とその鉛直分布を示したものである。図-7には(7)式、図-8には(8)式及び赤津と浅野の提案する式

$$\begin{aligned} \text{赤津: } \frac{\varepsilon h}{U_*^3} &= 3(1-y')^{3/2}/y' & (9) \\ \text{浅野: } \frac{\varepsilon h}{U_*^3} &= 1.1 y'^{-1} \quad (0.1 < y' < 0.6) & (10-a) \\ &= 0.63 y'^{-2} \quad (0.6 < y' < 0.9) & (10-b) \end{aligned}$$

も示している。図-7より、 $k$ は、 $y' > 0.4$ で $-1$ 乗で減衰し、壁面付近では(7)式とほぼ一致している。また、図-8より、 $\varepsilon$ は実験値とはほぼ一致しており、壁面付近では、(8)式とほぼ一致している。図-7

3. 乱れエネルギーの配分；高次の乱流モデルを簡略化し、次式で $k$ の配分を考える。

流速じと乱れエネルギー散逸率 $\varepsilon$ は第2章の結果を固定した。

$$\frac{\partial U^2}{\partial t} = -2\bar{U}\bar{U}'\frac{\partial U}{\partial y} - C_1(\bar{U}^2 - \frac{2}{3}k) - \frac{(G+8)}{11}(-2\bar{U}\bar{U}'\frac{\partial U}{\partial y} - 3P) - \frac{(8\varepsilon-2)}{11}(-2P) + \frac{2}{3}(\bar{U}\frac{\partial U^2}{\partial y} + D\frac{\partial U^2}{\partial y}) - \frac{2}{3}\varepsilon\{(1-f_3) + \frac{\bar{U}^2}{3}f_3\} \quad (11)$$

$$\frac{\partial P}{\partial t} = -C_R\varepsilon(\bar{U}^2 - \frac{2}{3}k) - \frac{(G+8)}{11}(-\frac{1}{3}P) - \frac{(8\varepsilon-2)}{11}(-2\bar{U}\bar{U}'\frac{\partial U}{\partial y} - 3P) + \frac{2}{3}(\bar{U}\frac{\partial U^2}{\partial y} + D\frac{\partial U^2}{\partial y}) - \frac{2}{3}\varepsilon\{(1-f_3) + \frac{\bar{U}^2}{3}f_3\} \quad (12)$$

$$\frac{\partial \bar{U}^2}{\partial t} = -C_R\varepsilon(\bar{U}^2 - \frac{2}{3}k) - \frac{(G+8)}{11}(-\frac{1}{3}P) - \frac{(8\varepsilon-2)}{11}(-\frac{2}{3}P) + \frac{2}{3}(\bar{U}\frac{\partial U^2}{\partial y} + D\frac{\partial U^2}{\partial y}) - \frac{2}{3}\varepsilon\{(1-f_3) + \frac{\bar{U}^2}{3}f_3\} \quad (13)$$

乱れエネルギー $K$ は定義され、 $K = \frac{\bar{U}^2 + U'^2 + \bar{W}^2}{2}$ 。また $-\bar{U}'\bar{U}' = D\frac{\partial U}{\partial y}$ ,  $D = C_d u_* \frac{k^2}{\varepsilon}$ ,  $P = -\bar{U}\bar{U}'\frac{\partial U}{\partial y}$ ,  $f_3 = \frac{1}{1+0.1R_{et}}$ 。定数は、 $C_1 = 1.5$ ,  $C_2 = 0.4$ ,  $C_R = 1.44$ ,  $C_E = 1.92$ ,  $C_D = 1.0$ ,  $C_f = 1.3$ 。

初期条件と(12),  $K-\varepsilon$ モデルで求めた $U$ ,  $K$ ,  $\varepsilon$ を用いた。 $U$ ,  $\varepsilon$ をそのまま固定し、 $K$ を(11)～(13)式で配分する。 $\bar{U}^2$ ,  $\bar{U}'^2$ ,  $\bar{W}^2$ の初期条件は、 $\bar{U}^2 = 2K$ ,  $\bar{U}'^2 = 0$ ,  $\bar{W}^2 = 0$ である。境界条件は、水路床 $y = 0$ で $\bar{U}^2 = \bar{U}'^2 = \bar{W}^2 = 0$ ,  $y = h$ で、Run1では $\frac{\partial \bar{U}^2}{\partial y} = 0$ ,  $\bar{U}'^2 = 0$ ,  $\frac{\partial \bar{W}^2}{\partial y} = 0$ , Run2では $\frac{\partial \bar{U}^2}{\partial y} = \frac{\partial \bar{U}'^2}{\partial y} = \frac{\partial \bar{W}^2}{\partial y} = 0$ である。数値実験のパラメータ $\alpha = \frac{h}{\delta}$ を表-2に示す。(11)～(13)式を差分化し、上記の初期条件、境界条件を与えて、定常になるまで収束計算を繰り返す。図-9～図-12にRun1の $U'$ ,  $\bar{U}'$ ,  $\bar{W}'$ の鉛直分布を示す。(簡単化のため、 $U' = \sqrt{\bar{U}^2}$ ,  $\bar{U}' = \sqrt{\bar{U}'^2}$ ,  $\bar{W}' = \sqrt{\bar{W}^2}$ とおく) 図-9～図-11より、 $U' > \bar{U}' > \bar{W}'$ となることがわかる。図-12は $U'$ の分布形について浅野の提案する式<sup>4)</sup>と比較したものである。 $\alpha$ に沿って多少の違いがあるがほぼ一致している。また、Run2について $\frac{U'}{U_*(U/U_*)^{1/2}} = 0.42(\frac{y}{h})^{-1/2}$ ; ( $0.1 < \frac{y}{h} < 0.6$ ) (C)  
 $= 0.35(\frac{y}{h})^{-1/2}$ ; ( $0.6 < \frac{y}{h} < 0.9$ ) (D)

(参考文献) 1) 細田, 岩佐, 余越; 京大防災年報, 1984, 2) 細田, 余越; 第30回水講, 1986, 3) Jones and Launder; J.F.M., Vol. 85, 1978

4) 浅野; 京大学位論文, 1980 5) 赤津; 京大学位論文, 1977

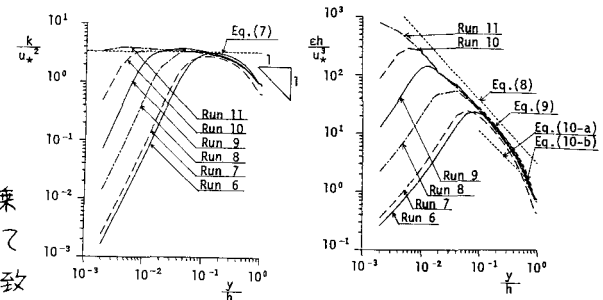


図-7

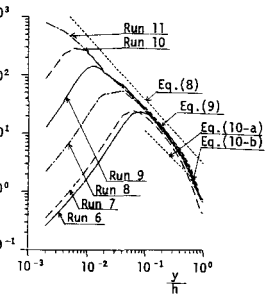


図-8

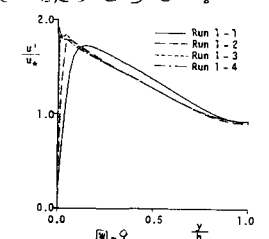


図-9

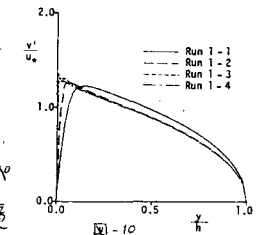


図-10

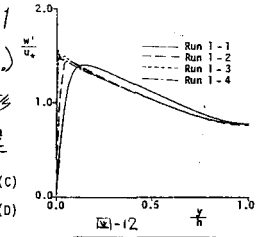


図-11

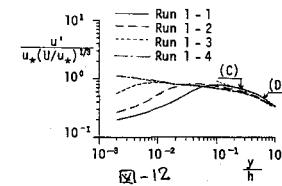


図-12

Run	$\alpha$
1-1	$1.40 \times 10^2$
1-2	$3.96 \times 10^2$
1-3	$1.57 \times 10^3$
1-4	$4.43 \times 10^3$

表-2